

## РАСЧЕТ ОДИРОДНЫХ ЗЕМЛЯНЫХ ПЛОТИН, ПОСТРОЕННЫХ НА ПРОНИЦАЕМОМ ОСНОВАНИИ<sup>1</sup>

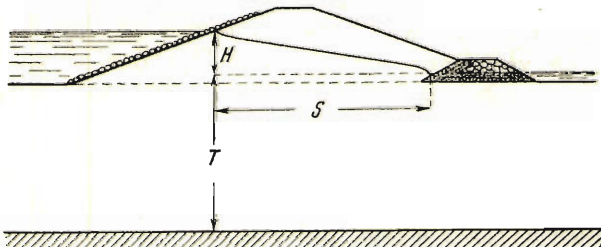
А. И. Вощинин

(Москва)

В работе дается исследование решения задачи о фильтрации для расчета однородной земляной плотины при любой глубине проницаемого основания. Результаты решения этой задачи опубликованы в 1939 г.<sup>[1]</sup>

Заметим, что Ф. Б. Нельсон-Скорняков в своей книге<sup>[2]</sup> разбирает эту задачу в случае, когда верховой откос плотины почти вертикальный (что в практике встречается весьма редко). Автор, повидимому, не замечает, что его решение является частным случаем решения приведенного нами в Докладах<sup>2</sup>, когда можно ограничиться рассмотрением половины области движения грунтового потока, как показано в примере 2 в конце этой работы.

**1. Постановка задачи.** Рассмотрим земляную плотину, представленную на фиг. 1. В первоначальной постановке задачи примем глубину



Фиг. 1.

воды в верхнем и нижнем бьефах равной нулю, т. е. будем предпо-

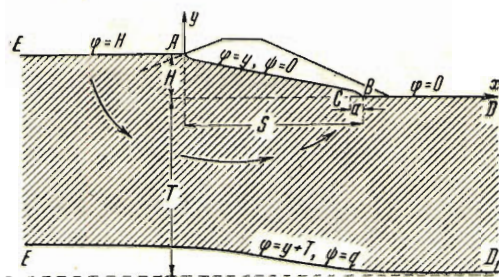
<sup>1</sup> Эта работа была представлена автором к печати 6/V 1941 г. Статья изначально расширяла сообщение в Докладах АН ССР (1939, т. IX) и была возвращена автору для дополнений примерами. В настоящее время автор представил вновь ее первоначальный текст, добавив последний параграф (примеры).

Ввиду того, что принципиальный результат А. И. Вощинина не получил должной оценки в литературе (например, книга Ф. Б. Нельсон-Скорнякова<sup>[2]</sup>), редакция считает необходимым опубликовать эти материалы (*При. ред.*)

<sup>2</sup> Следует отметить также, что указание Ф. Б. Нельсон-Скорнякова на решение им этой задачи в 1936 г., вызывает недоумение, — указанные им Научные записки МИИВХ<sup>[3]</sup> не содержат ни этого решения, ни упоминания о возможности наложении особого условия на линию водоупора.

лагать, что линии входа и выхода грунтового потока совпадают соответственно с отметками верхнего и нижнего бьефов.

Тогда область движения грунтового потока имеет вид, представленный



Фиг. 2.

на фиг. 2. Для дальнейшего примем следующие обозначения (фиг. 2):

$\varphi$  — потенциальная функция;  $\psi$  — функция тока;

$v$  — скорость фильтрации;  $H$  — действующий напор;

$\chi$  — коэффициент фильтрации грунта;

$q$  — значение приведенного расхода;

$Q = \chi q$  — удельный фильтрационный расход через плотину;

$I = v / \chi$  — гидравлический градиент;

$S$  — длина плотины от уреза верхнего бьефа до точки выхода кривой депрессии в дренаж;

$T$  — глубина нижней точки проницаемого основания;

$CB = a$  — длина части дренажа, выступающей внутрь потока;

$EA$  — линия входа потока в грунт и горизонт верхнего бьефа;

$BCD$  — линия выхода потока и горизонт нижнего бьефа;

$AB$  — кривая депрессии;

$ED$  — поверхности водоупора;

$\text{sn}, \text{cn}, \text{dn}$  — эллиптические функции Якоби.

$K, K'$  — полные эллиптические интегралы;

$k$  — модуль эллиптического интеграла;

В дальнейшем для сокращения коэффициент фильтрации повсюду принимается равным единице и вводится только окончательные формулы расхода и скорости.

Границные условия состоят в следующем (фиг. 2).

На линии входа потока  $EA$  напор постоянный и можно принять

$$\varphi = H \quad (1.1)$$

На линии выхода  $BCD$  напор постоянный и можно принять

$$\varphi = 0 \quad (1.2)$$

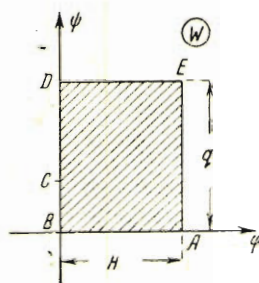
На кривой депрессии  $AB$ , которая является линией тока и границей с областью атмосферного давления, имеем

$$\varphi = 0, \quad \psi = y \quad (1.3)$$

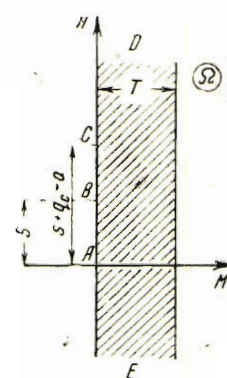
На нижней границе проницаемого основания  $ED$ , которая является линией тока, примем

$$\psi = q, \quad \varphi = y + T \quad (1.4)$$

Второе из этих условий является допущением; оно упрощает задачу. Форма поверхности водоупора получается в результате решения, причем отклонение от горизонтали не будет превышать половины напора. Таким образом, это допущение можно делать,



Фиг. 3



Фиг. 4

если глубина проницаемого основания  $T$  в несколько раз больше напора  $H$ .

Заметим, что в соответствии с опытом точка выхода кривой депрессии  $B$  не совпадает с началом дренажа и подлежит определению.

**2. Общая формула.** Следуя методу Жуковского, рассмотрим:

а) комплексный потенциал (фиг. 3)

$$W = \varphi + i\psi \quad (2.1)$$

б) комплекс Жуковского (фиг. 4)

$$\Omega = M + iN = W + iz \quad (2.2)$$

где  $z = x + iy$  — координата точки области движения грунтового потока.

Отобразим область, представленную на фиг. 3, на верхнюю полуплоскость  $\zeta$  (фиг. 5) с помощью формулы Шварца-Кристоффеля

$$W = A \sqrt{\frac{d\zeta}{(\zeta^2 - 1)(\zeta^2 - k^2)}} + B$$

Определяя произвольные постоянные  $A$  и  $B$ , имеем

$$W - \frac{H}{2} = \frac{H}{2K} \int_0^\infty \frac{d\omega}{\sqrt{(1-\omega^2)(1-k^2\omega^2)}} = \frac{H}{2K} \operatorname{sn}^{-1} \frac{\zeta}{k}$$

или

$$\zeta = k \operatorname{sn} \left( -K + \frac{2KW}{H}, k \right) \quad (2.3)$$

Аналогичным образом, отображая область, представленную на фиг. 4, на ту же полуплоскость  $\zeta$  (фиг. 5), получим

$$\zeta = \operatorname{th} \left[ \frac{\pi}{2T} \left( \Omega i + \frac{S}{2} \right) \right] = \operatorname{th} \left[ \frac{\pi}{2T} \left( Wi - z + \frac{S}{2} \right) \right] \quad (2.4)$$

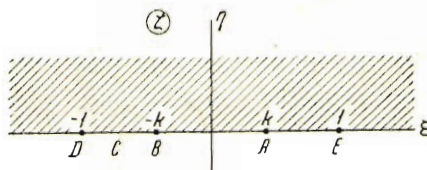
Исключая из (2.3) и (2.4) вспомогательное переменное  $\zeta$ , имеем общее решение задачи в виде следующей формулы:

$$\operatorname{th} \left[ \frac{\pi}{2T} \left( Wi - z + \frac{S}{2} \right) \right] = k \operatorname{sn} \left( -K + \frac{2KW}{H}, k \right) \quad (2.5)$$

при этом

$$q = \frac{HK'}{2K}, \quad k = \operatorname{th} \frac{\pi S}{4T} \quad (2.6)$$

Последние равенства являются необходимыми условиями конформных преобразований (2.3) и (2.4) соответственно.



Фиг. 5

### 3. Расчетные формулы для отдельных гидродинамических элементов потока

1°. Фильтрационный расход, проходящий через единицу ширины профиля, будет

$$Q = zq = \frac{K'}{2K} zH \quad (3.1)$$

2°. Уравнение депрессионной кривой получается из общей формулы (2.5) при  $\varphi = y$ ,  $\psi = 0$ . Имеем

$$\operatorname{th} \left[ \frac{\pi}{2T} \left( \frac{S}{2} - x \right) \right] = k \operatorname{sn} \left( -K + \frac{2Ky}{H}, k \right) \quad (3.2)$$

Это уравнение можно представить также в виде

$$\frac{k - \operatorname{th} \pi x / 2T}{1 - k \operatorname{th} \pi x / 2T} = \frac{k \operatorname{sn} (2Ky / H, k)}{\operatorname{dn} (2Ky / H, k)} \quad (3.3)$$

Анализ формул (3.2) и (3.3) и расчеты по ним приводят к следующим выводам:

- а) верхний и нижний концы кривой депрессии симметричны;
- б) наименьший уклон и кривизну кривая депрессии имеет в середине, а при приближении к точкам входа и выхода уклон и кривизна возрастают;
- в) увеличение глубины проницаемого основания  $T$  при постоянной длине профиля  $S$  (так же как и уменьшение  $S$  при постоянной  $T$ ) приводит к уменьшению кривизны кривой депрессии, к ее приближению к прямой с постоянным уклоном. Случай плотины, построенной на непроницаемом основании, как предельный, должен давать наибольшую кривизну кривой депрессии.

3°. Уравнение линии водоупора получается из общей формулы (2.5) при  $\varphi = y + T$ ,  $\psi = q$ . Имеем

$$\operatorname{th} \left[ \frac{\pi}{2T} \left( \frac{S}{2} - q - x \right) \right] = \operatorname{sn} \left[ \left( -K + \frac{2Ky}{H} + \frac{2KT}{H} \right), k \right] \quad (3.4)$$

Построение линии водоупора для случаев, когда заданная глубина его нижней точки  $T$  велика по сравнению с напором  $H$ , не является обязательным при расчете. При малой глубине непроницаемого основания  $T$  это построение необходимо сделать, чтобы иметь представление об отклонении полученной линии водоупора от заданной.

4°. Абсциссы граничных точек линий тока получаем из формулы (2.5). Для линии входа потока  $EA$  при  $\varphi = H$ ,  $y = H$

$$\operatorname{th} \left[ \frac{\pi}{2T} \left( \frac{S}{2} - \psi - x \right) \right] = \frac{k}{\operatorname{dn}(2K\psi/H, k')} \quad (3.5)$$

для линии выхода потока  $BCD$  при  $\varphi = 0$ ,  $y = 0$

$$\operatorname{th} \left[ \frac{\pi}{2T} \left( \frac{S}{2} - \psi - x \right) \right] = - \frac{k}{\operatorname{dn}(2K\psi/H, k')} \quad (3.6)$$

5°. Скорость потока в какой-либо точке рассматриваемой области будет

$$\frac{dW}{dz} = v = v_x - i v_y$$

Из формулы (2.5) имеем

$$z = \frac{\pi}{2T} \left( \frac{S}{2} + Wi \right), \quad \beta = -K + \frac{2KW}{H}, \quad z = \frac{2T}{\pi} \operatorname{th}^{-1} \left( \frac{k \operatorname{sn}(\beta, k) - \operatorname{th} z}{k \operatorname{sn}(\beta, k) \operatorname{th} z - 1} \right)$$

отсюда

$$\frac{dz}{dW} = i - \frac{4KTk \operatorname{cn}(\beta, k)}{\pi H \operatorname{dn}(\beta, k)} = i - b \frac{\operatorname{cn}(\beta, k)}{\operatorname{dn}(\beta, k)} \quad \left( b = \frac{4KTk}{\pi H} \right)$$

следовательно,

$$\frac{dW}{dz} = \frac{\operatorname{dn}(\beta, k)}{i \operatorname{dn}(\beta, k) - b \operatorname{cn}(\beta, k)} \quad (3.7)$$

Из этой общей формулы определим скорости на границе для тех же точек, абсциссы которых можно получить из равенства (3.5) и (3.6).

По линии входа потока  $EA$  при  $\varphi = y = H$ ,  $W = H + i\psi$ ,  $z = x + iH$ ,  $dz = dx$ ,  $dW = i d\psi$  имеем

$$I_x = \frac{v_x}{z} = 0, \quad I_y = \frac{v_y}{z} = \frac{d\psi}{dx} = \frac{-\operatorname{cn}(2K\psi/H, k')}{\operatorname{cn}(2K\psi/H, k') + b \operatorname{sn}(2K\psi/H, k')} \quad (3.8)$$

По линии выхода потока  $CD$  при  $\varphi = y = 0$ ,  $W = i\psi$ ,  $z = x$ ,  $dz = dx$ ,  $dW = i d\psi$

$$I_x = \frac{v_x}{z} = 0, \quad I_y = \frac{v_y}{z} = \frac{d\psi}{dx} = \frac{\operatorname{cn}(2K\psi/H, k')}{b \operatorname{sn}(2K\psi/H, k') - \operatorname{cn}(2K\psi/H, k')} \quad (3.9)$$

Для построения эпюры скорости выхода грунтового потока нужно задаться рядом значений  $\psi$  в пределах от 0 до  $q$  и определить абсциссы соответствующих точек по формуле (3.6) и скорости в них по формуле (3.9). По этой эпюре определяются необходимые размеры обратного фильтра.

6°. Длина части дренажа, выступающей внутрь потока  $CB = a$ , определяется из условия минимума функции  $x = x(\psi)$  в точке  $C$

$$\frac{dx}{d\psi_a} = 0$$

Для этого пользуемся равенством (3.9). Имеем

$$b \operatorname{sn} \left( \frac{2K\psi}{H}, k' \right) - \operatorname{cn} \left( \frac{2K\psi}{H}, k' \right) = 0$$

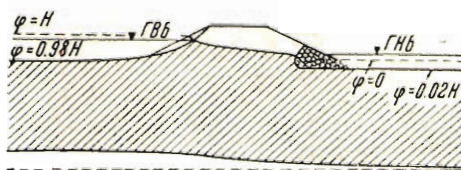
Выражая  $\sin \omega$  через  $\sin \varphi$  и разрешая полученное равенство относительно  $\psi_a$ , получим

$$\psi_a = \frac{H}{2K} \int_0^{b^*} \frac{d\omega}{\sqrt{(1-\omega^2)(1-k'^2\omega^2)}} \quad \left( b^* = \sqrt{\frac{1}{1+b^2}} \right) \quad (3.10)$$

Определив функцию  $\psi_a$ , абсциссу нужной точки  $C$  находим с помощью равенства (3.6).

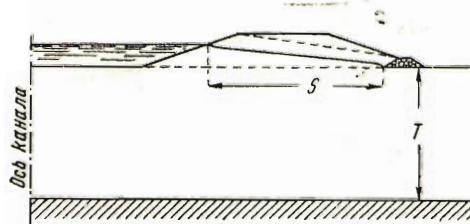
*Замечание.* В заключение укажем, что принятное предположение о нулевой глубине бьефов, как видно из полученного решения, оказывается несущественным.

Принимая из сетки эквидистентиалей полученного решения ближайшую к границе реального бьефа и контуру плотины (фиг. 6), можно



Фиг. 6

произвести все необходимые вычисления по той же формуле (2.5). При этом формулы для отдельных элементов потока окажутся несколько более сложными, в них одновременно войдут действительные и мнимые части. Однако проведенные вычисления показывают, что учет глубины бьефов (или практических форм откосов плотины) приводит к уточнению расчета порядка  $1-2\%$ , т. е. практически можно пользоваться непосредственно решением для принятой схематической области движения.



Фиг. 7

**4. Пример 1.** Рассчитать дамбы, ограждающие канал, на участке, имеющем следующие данные (фиг. 7):

- а) грунт основания, являющийся также материалом для отсыпки дамб, песок с коэффициентом фильтрации  $z = 0.0001 \text{ м}^2/\text{сек.}$
- б) разность горизонтов воды в канале и в дренажной призме (действующий напор) составляет на данном участке  $H = 6 \text{ м}$ ;
- в) непроницаемое глинистое основание, подстилающее толщу песка, находится по данным геологической разведки, на глубине  $T \approx 60 \text{ м}$ ;
- г) потери из канала на фильтрацию и условия отвода воды из дренажа определяют допустимый удельный фильтрационный расход  $Q = 0.36 \text{ л}/\text{сек.}$ ,

В данном случае длину профиля плотины  $S$  определяет допустимый расход из канала. В табл. 4 приведены результаты вычислений расхода для нескольких вариантов длины  $S$  по формуле (3.1).

Таблица 4

	$S = 4H$	$S = 6H$	$S = 8H$	$S = 10H$
$k = \operatorname{th} \frac{\pi S}{4T}$	0.304	0.439	0.557	0.656
$K$ по таблицам	1.609	1.656	1.720	1.799
$K' \quad \text{»} \quad \text{»}$	2.618	2.274	2.061	1.918
$\frac{K'}{2K}$	0.814	0.686	0.600	0.533
$Q = 1000 \frac{K'}{2K} zH \frac{l}{\text{сек}}$	0.49	0.41	0.36	0.32

На основании этого расчета длину профиля дамбы следует принять

$$S = 8H = 48 \text{ м}$$

Положение кривой депрессии определяем по формуле (3.2). Для каждого значения

$$y_1 = 0.9H, \quad y_2 = 0.8H, \quad y_3 = 0.7H, \dots, \quad y_9 = 0.1H$$

вычисляем по таблицам эллиптических функций [4] значения  $sn$ , причем модуль  $k$  уже известен по расчету расхода, а затем, пользуясь таблицей для гиперболического тангенса, находим соответствующие значения абсциссы  $x$ . Например, для  $y_5 = 0.5H$

$$\operatorname{th} \left[ \frac{\pi}{2T} \left( \frac{S}{2} - x \right) \right] = k \operatorname{sn}(0, k) = 0$$

$$x = \frac{S}{2} = 24 \text{ м}$$

Нанеся кривую депрессии на чертеж фиг. 7, видим, что она повсюду находится в достаточном удалении от предварительно взятого внешнего контура плотины и дает возможность сократить объем тела плотины без увеличения опасности выхода грунтовых вод на низовой откос. Один из вариантов более экономического внешнего контура нанесен на фиг. 7 пунктиром.

Остается определить длину дренажа с обратным фильтром, для чего необходимо построить эпюру градиентов по линии выхода грунтового потока. Абсциссы  $x$  точек находим по формуле (3.6), задаваясь различными значениями  $\psi$  в пределах от 0 до  $q$ , а скорость или градиент выхода для тех же самых значений  $\psi$  получаем из формулы (3.9). Соотношение между скоростью и градиентом дается законом Дарси

$$v = zI$$

где  $z$  — коэффициент фильтрации грунта.

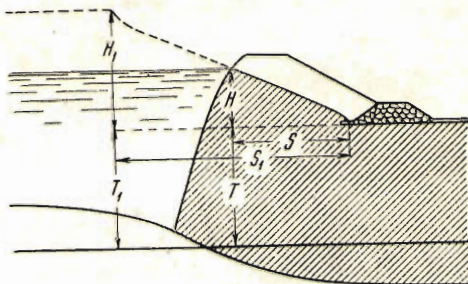
Примем допустимый градиент выхода без обратного фильтра  $I \leq 0.1$ . Тогда длина фильтра по подошве (т. е. та длина, на которой выходной градиент больше 0.1 по полученной эпюре) будет

$$l = 0.9H = 5.4 \text{ м}$$

При этом непосредственно в дренаж поступает 38% всего грунтового потока.

5. Пример 2. Разберем пример 9 из книги Ф. Нельсон-Скорнякова<sup>[2]</sup> (стр. 107).

Дана плотина с почти вертикальным напорным откосом, простирающимся до водоупора. Напор  $H = 20$  м, коэффициент фильтрации  $\kappa = 0.0002$  м/сек, глубина проницаемого основания  $T = 40$  м =  $2H$ , длина профиля  $S = T = 2H = 40$  м. Требуется определить расход через эту плотину.



Фиг. 8

Построим решение для плотины фиг. 8 с горизонтальным напорным откосом при той же глубине проницаемого основания  $T_1 = T = 40$  м и с вдвое большими напором и длиной

$$H_1 = 2H = 40 \text{ м}, \quad S_1 = 2S = 80 \text{ м}$$

Вычисляем фильтрационный расход:

$$k = \operatorname{th} \left[ \frac{\pi}{4} \frac{80}{40} \right] = \operatorname{th} 1.57 = 0.917, \quad K = 2.359, \quad K' = 1.640$$

$$Q = \frac{K'}{2K} \times H_1 = 0.348 \times H_1 = 0.696 \times H$$

Рассматривая нижнюю половину вспомогательной схемы, получаем расход для заданной плотины  $H = 20$  м,  $S = 40$  м с почти вертикальным откосом:

$$Q = 0.696 \times H = 0.00278 \text{ м}^3/\text{сек} = 2.78 \text{ л/сек}$$

Полученное значение расхода на 1,5% больше расхода, приведенного Нельсон-Скорняковым, а не на 17% меньше, как указывает Нельсон-Скорняков, но и эта небольшая разница исчезает, если исправить арифметические погрешности в вычислениях самого Нельсон-Скорнякова, а именно вместо

$$k = \operatorname{th}^2 \left( \frac{\pi}{4} \frac{40}{40} \right) = 0.66^2 = 0.436 \text{ и т. д. . . } Q = 2.74 \text{ л/сек}$$

нужно

$$k = \operatorname{th}^2 \left( \frac{\pi}{4} \frac{40}{40} \right) = 0.656^2 = 0.430 \text{ и т. д. . . } Q = 2.78 \text{ л/сек}$$

Поступила в редакцию  
6 V 1941

#### ЛИТЕРАТУРА

1. А. Вощинин. Движение грунтовых вод в теле и основании однородной земляной плотины с горизонтальным фильтром при конечной глубине проницаемого основания. ДАН. Новая серия. 1939, т. XXV, № 9.
2. Нельсон-Скорняков Ф. Б. Фильтрация в однородной среде. 1947.
3. Научные записки МИИВХ. 1937. Вып. 4.
4. Шипильрейн Я. И. Таблицы специальных функций. Ч. II.